



Creative Commons Attribution 4.0 International License (CC BY 4.0)

## جغرافیا و مخاطرات محیطی، شماره سی و هفتم، بهار ۱۴۰۰

صفحه ۶۳ - ۴۱

doi: <https://dx.doi.org/10.22067/geoeh.2021.67238.0>

مقاله پژوهشی

### ارزیابی خطر فرسایش خاک در کاربری‌های اراضی با استفاده از معادله اصلاح شده جهانی فرسایش خاک (مطالعه موردي: حوضه آبریز سیکان)

مهدی مزبانی<sup>۱</sup> - دانشجوی دکتری ژئومورفولوژی، دانشکده برنامه‌ریزی و علوم محیطی، دانشگاه تبریز، تبریز، ایران

محمد حسین رضایی<sup>۲</sup> مقدم - استاد گروه ژئومورفولوژی، دانشکده برنامه‌ریزی و علوم محیطی، دانشگاه تبریز، تبریز، ایران

اسدالله حجازی - دانشیار گروه ژئومورفولوژی، دانشکده برنامه‌ریزی و علوم محیطی، دانشگاه تبریز، تبریز، ایران

تاریخ دریافت: ۱۳۹۹/۹/۳ تاریخ بازنگری: ۱۴۰۰/۱/۲۵ تاریخ تصویب: ۱۴۰۰/۱/۴

#### چکیده

نوع و شدت فرسایش خاک در یک منطقه، تابع شرایط اقلیمی، پستی و بلندی زمین، خاک و کاربری اراضی است که در این میان اهمیت کاربری اراضی به دلیل نقش مؤثر انسان بر آن نسبت به دیگر عوامل زیادتر است. در این پژوهش با استفاده از معادله جهانی فرسایش خاک و با بهره‌گیری از تصاویر ماهواره‌ای ستینل ۲، میزان فرسایش خاک در کاربری‌های مختلف حوضه آبریز سیکان برآورد گردید. ابتدا هر یک از لایه‌های R (عامل فرسایندگی بارندگی)، K (عامل فرسایش پذیری)، LS (عامل توپوگرافی) و P (عامل حفاظت خاک) و تحلیل‌های مرتبط با آن در نرم‌افزار Arc GIS تهیه شدند. از تصاویر سنجنده ماهواره ENVI 2 Sentinel نیز جهت تهیه عامل پوشش گیاهی (C) و کاربری‌های اراضی حوضه در محیط ۵.۳ استفاده گردید. نتایج نشان داد میزان کل فرسایش در حوضه برابر با ۱۲۸۱۱۰۰۴ تن در سال و میانگین فرسایش برابر ۱۷/۶۲ تن در هکتار در سال است. در بین کاربری‌ها، مراتع متوسط با میانگین فرسایش ۲۷/۹۸ تن در هکتار در سال بیشترین و مناطق کشاورزی آبی و مسکونی به ترتیب با میانگین فرسایش ۰/۴۴ و ۰/۴۰ تن در هکتار در سال کمترین فرسایش را نشان دادند. در بین عوامل تأثیرگذار در هدر رفت خاک حوضه، عامل LS با همبستگی  $R = 0.9$  بیشترین سهم به خود اختصاص داد. بر اساس طبقه‌بندی هدر رفت خاک، ۴۲ درصد از حوضه با مقادیر بالاتر از ۱۶ تن در هکتار در سال در وضعیت شدیدی از لحاظ هدر رفت خاک قرار دارند که اجرای عملیات‌های حفاظت خاک و آبخیزداری بهمنظور

جلوگیری از تخریب خاک و تقویت پوشش گیاهی بهویژه در بالادست حوضه بیش از پیش ضرورت و اهمیت می‌یابد.

**کلیدواژه‌ها:** فرسایش خاک، مدل RUSLE، سنجنده 2 Sentinel، حوضه آبریز سیکان، دره‌شهر.

#### ۱- مقدمه

فرسایش آبی از مهم‌ترین انواع تخریب زمین در بیشتر نقاط ایران است که سبب از بین بردن خاک‌های حاصلخیز و زمین‌های کشاورزی می‌شود (میرکر و همکاران<sup>۱</sup>، ۲۰۱۷). گزارش‌ها نشان می‌دهد حدود ۳۵ میلیون مترمربع از اراضی کشور ایران تحت تأثیر فرسایش آبی قرار دارد (ذاکرنشاد و میرکر، ۲۰۱۵). به طور متوسط، فرسایش خاک در ایران سه برابر بیشتر از سایر کشورهای آسیایی و ۲۰ برابر میانگین جهانی است. فرسایش خاک در ایران هزینه زیادی دارد و تقریباً ۵۶ تا ۱۱۲ میلیارد دلار در سال است و بسته به میزان فرسایش خاک در هرسال این مقدار تغییر می‌کند. عوامل زیادی در نوع و میزان فرسایش خاک در یک حوضه آبخیز مؤثرند (صادقی، ۱۳۹۴). یکی از این عوامل استفاده از اراضی است که بهویژه در دهه‌های اخیر با تغییرات گسترده‌ای که در نتیجه پیشرفت‌های فناوری در طبیعت انجام شده نقش زیادی در افزایش مقدار فرسایش داشته است (گارسیا رویز و همکاران<sup>۲</sup>، ۱۹۹۶). واکنش رواناب و رسوب خروجی حوضه آبخیز به ویژگی‌های فیزیوگرافی، الگوی پراکنش کاربری اراضی، نوع خاک، شدت و مدت وقوع بارندگی و دخالت‌های انسانی بستگی دارد که در میان آن‌ها نقش کاربری اراضی دارای اهمیت بیشتری است (طالبی خیاوی، ۱۳۹۶). از طرفی نوع کاربری اراضی نیز به صورت مستقیم با فعالیت‌های انسانی از طریق تأمین رسوبات لازم برای حمل رسوب و ترسیب در ارتباط است (صادقی و همکاران، ۱۳۹۴؛ مصطفی‌زاده و همکاران، ۱۳۹۶). نرخ فرسایش خاک شاخصی جامع برای ارزیابی درجه توسعه‌یافتنگی و پایداری برنامه‌های مدیریتی سرزمینی کشورها است و از طرفی داشتن اطلاعات مکانی در ارتباط با پدیده‌ها این امکان را فراهم می‌کند که همبستگی بین پدیده‌ها و الگوی فضایی بین آن‌ها شناسایی شود در نتیجه شناخت الگوی فضایی فرسایش خاک، یک کلید برای درک دینامیک و شناسایی دلایل زیستی و غیر زیستی فرسایش خاک هست و تعیین الگوی پراکنش شدت فرسایش و رسوب می‌تواند به ارائه راهکارهای مناسب برای کاهش و مقابله با فرسایش و رسوب در حوزه آبخیز کمک کند (جواندوست و همکاران، ۱۳۹۳)؛ بنابراین، تعیین عوامل مؤثر بر فرسایش و پیش‌بینی مقدار فرسایش خاک و رسوب در حوزه‌های آبخیز به منظور اجرای برنامه‌های حفاظت از خاک و تعیین روش‌های مبارزه با فرسایش و کاهش تولید رسوب ضروری و نخستین گام در ارائه راهکارهای حفاظت از خاک است ( حاجی و همکاران، ۱۳۹۴؛ جوزی و مرادی مجلد، ۱۳۹۴).

1 Maerker et al

2 Garcia-Ruiz et al

روش‌های مختلفی جهت برآورده فرسایش و تولید رسوب در حوزه‌های آبخیز فاقد آمار وجود دارد که استفاده از هر یک از این روش‌ها بستگی به دقیقیت روش و همچنین میزان اهمیت و نیز مدت زمان اجرای طرح دارد. تلاش‌های قابل توجهی در مورد توسعه مدل‌های فرسایش خاک صورت گرفته است (نیرینگ و همکاران<sup>۱</sup>، ۲۰۰۵). یکی از مدل‌های خیلی کاربردی برای ارزیابی فرسایش ورقه‌ای و شیاری<sup>۲</sup>، معادله جهانی فرسایش خاک<sup>۳</sup> (USLE) است که به وسیله ویشمایر و اسمیت<sup>۴</sup> (۱۹۷۸) توسعه داده شد. مدل USLE و نسخه‌های آن نمونه‌هایی از مدل‌های تجربی و مفهومی هستند. به طور کلی USLE اساساً برای برآورده فرسایش خاک در اراضی کشاورزی با شبیه ملایم توسعه داده شد. با وجود نسخه‌های اصلاح شده و تجدیدنظر شده، USLE هنوز در مطالعات زیادی که در خصوص برآورده تلفات خاک انجام می‌شوند، مورد استفاده قرار می‌گیرد (ویشمایر و اسمیت، ۱۹۷۸؛ ریموتل و همکاران<sup>۵</sup>، ۲۰۰۱). رابطه جهانی فرسایش خاک اصلاح شده<sup>۶</sup> که روش مورد استفاده در پژوهش حاضر است در دسترس ترین مدل عملی پیش‌بینی فرسایش است که به سادگی در مقیاس محلی و منطقه‌ای اجرا می‌شود. مدل RUSLE می‌تواند پتانسیل فرسایش خاک را به صورت سلولی به سلول پیش‌بینی کند که هنگام تلاش برای شناسایی الگوی مکانی تلفات خاک فعلی در یک منطقه بزرگ بسیار مفید است (شیندی و مان‌جاشتری<sup>۷</sup>، ۲۰۱۰). با استفاده از مدل RUSLE، فرسایش سطحی و شیاری ناشی از باران و روان‌آب، در سطوح تحت روان‌آب سطحی پیش‌بینی می‌شود. سطوح تحت روان‌آب، محدوده‌ای هستند که جریان‌های سطحی از ابتدای آن سرچشمه می‌گیرند و در انتهای آن تمکز یافته یا به محدوده رسوب‌گذاری وارد می‌شوند. هدر رفت خاک، متوسط سرعت فرسایش در این محدوده است (جونز و همکاران<sup>۸</sup>، ۲۰۰۸).

پژوهش و همکاران (۱۳۹۰) اثر کاربری اراضی مختلف در فرسایش و تولید رسوب با استفاده از GIS را در حوضه سد زاینده‌رود علیا مطالعه نمودند. نتایج حاصل از پژوهش ایشان نشان داد که پیش‌ترین مقدار فرسایش خاک و تولید رسوب در حوضه موردمطالعه، در کاربری‌های مرتع متراکم و بوتهزارها صورت گرفته است. این افزایش تولید رسوب در این دو نوع کاربری، ناشی از تأثیر متقابل دو عامل، شبیه و چرای بی‌رویه دام در اوایل فصل بهار است. بابایی و همکاران (۱۳۹۵) مقدار میانگین سالانه فرسایش حوضه آبخیز کن سولقان را ۲۰/۲۲ تن در هکتار در سال برآورد کردند و نشان دادند عامل LS با ضریب همبستگی ۰/۷۸ درصد بیشترین تأثیر را در برآورده فرسایش سالانه خاک داشته است. فیضی‌زاده (۱۳۹۶) تغییرات کاربری اراضی و نقش آن را در حوضه علیان بررسی کرد که نشان

۱ Nearing et al

2 Surface and Rill Erosion

3 Universal Soil Loss Equation (USLE)

4 Wischmeier & Smith

5 Remortel et al

6 Revised Universal Soil Loss Equation (RUSLE)

7 Shinde & Manjushree

8 Jones et al

داد تبدیل اراضی مرتعی پرتراکم به مراتع کم تراکم و زراعت دیم، مهم‌ترین عامل در فرسایش منطقه است. محمدی و همکاران (۱۳۹۷) با استفاده از مدل RUSLE میانگین فرسایش در مقیاس کشور ایران را ۲۴ تن در هکتار در سال برآورد نمود و نقش عامل توپوگرافی را بیش از سایر عوامل مشخص نمودند. مختاری و همکاران (۱۳۹۷) با استفاده از مدل RUSLE میزان فرسایش خاک در سطح حوضه آبریز نورآباد ممسنی از ۸ تا ۷۵ تن در هکتار در سال برآورد کردند و نشان دادند که عامل LS نقش بیشتری در فرسایش نسبت به سایر عوامل دارد. سیکاور و هوفرکا<sup>۱</sup> (۲۰۰۷) با مطالعه تأثیر تغییر کاربری در اسلواکی (۱۹۹۰-۲۰۰۰) به این نتیجه رسید که تغییرات پوشش زمین و کشت نوبتی تأثیرات آشکاری بر روی الگوی فرسایش خاک در قسمت دره‌ها و نواحی کوهستانی داشته است. این تغییرات عمدتاً به دلیل تغییر مدام مالکیت اراضی، تغییر نوع محصولات، جنگل‌زدایی و جنگل‌کاری است. شارما و کملش<sup>۲</sup> (۲۰۱۰) با مطالعه اثر تغییر کاربری اراضی بر روی فرسایش با استفاده از معادله جهانی فرسایش خاک در حوضه آبریز مایتون در هند در طی سال‌های ۱۹۸۹ تا ۲۰۰۴ به این نتیجه رسیدند که تغییر کاربری‌ها باعث فرسایش قابل توجهی در حوضه شده است که در سال ۱۹۸۹ مقدار فرسایش از ۱۲/۱۱ تن در هکتار در سال به ۱۳/۲۱ تن در هکتار در سال ۲۰۰۴ رسیده است. انوگو و همکاران<sup>۳</sup> (۲۰۱۷) در مطالعه‌ای تأثیر تغییر پوشش زمین بر مقدار فرسایش خاک در نیجریه را مطالعه کردند. آن‌ها در این پژوهش تصویر پوشش زمین را در چهار دوره برسی کردند و نتایج نشان داد که در دامنه‌های شبدار فرسایش خاک شدید و در مناطقی که پوشش گیاهی متراکم دارند فرسایش ناچیزی رخ می‌دهد. سانتوس و همکاران<sup>۴</sup> (۲۰۱۷) به بررسی تغییرات کاربری اراضی و نقش آن بر فرسایش خاک پرداختند. آن‌ها برای این امر از تصاویر ماهواره‌ای لندست طی سال‌های ۲۰۱۰ و ۲۰۱۱ استفاده کردند. نتایج نشان داد که سطح زمین‌های کشاورزی و مراتع در این مناطق کاهش یافته و میزان فرسایش ۱۰ برابر افزایش یافته است.

در سال‌های اخیر عملیات اجرایی احداث سد خاکی سیکان به‌منظور تأمین آب شرب شهرهای مجاور و همچنین مسروბ ساختن اراضی کشاورزی پایین دست در دستور کار وزارت نیرو قرار گرفته؛ لذا شناسایی سطوح حساس به فرسایش در این حوضه سیکان می‌تواند در مدیریت و کیفیت منابع آب، کاهش رسوب ورودی به سدها و طول عمر آن‌ها نقش شایانی داشته باشد؛ بنابراین ارزیابی و برآورد خاک با استفاده از مدل‌های بهینه برآورد فرسایش و رسوب، یکی از راهکارهایی است که از طریق آن می‌توان فرسایش خاک را تا حدود زیادی کنترل نمود و مقدار آن را با اقدامات مدیریتی و حفاظتی حوضه‌ای کاهش داد. با توجه به مسئله فوق هدف اصلی این پژوهش برآورد فرسایش خاک سالانه در حوضه آبریز سیکان با استفاده از مدل RUSLE، ارزیابی کاربری‌های مختلف اراضی از نظر پتانسیل هدر رفت خاک و اولویت‌بندی آن‌ها جهت انجام عملیات‌های حفاظتی و پروژه‌های آبخیزداری است.

1 Cebecauer & Hofierka

2 Sharma & Kamlesh

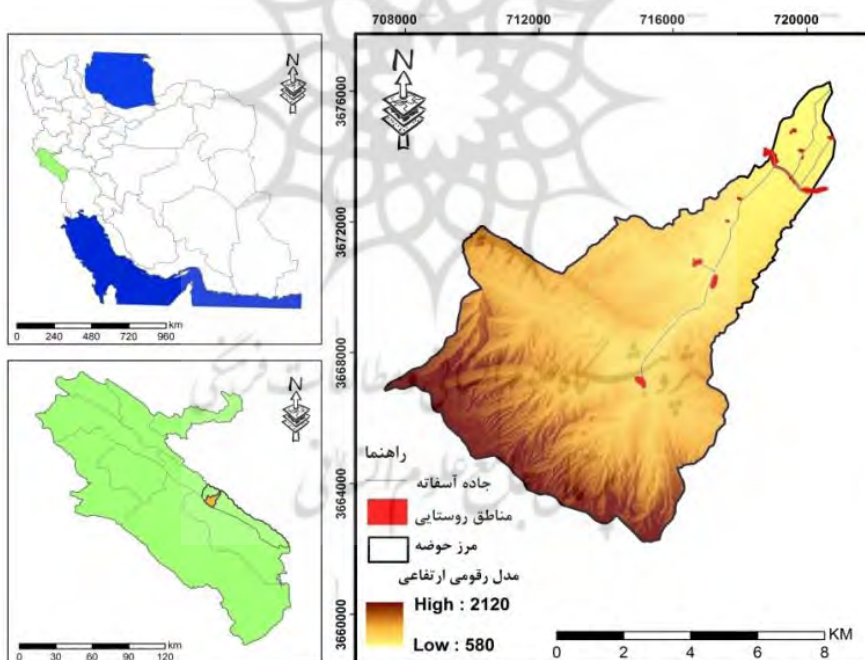
3 Nwaogu et al

4 Santos

## ۲- مواد و روش

### ۱-۲- منطقه مورد مطالعه

حوضه آبریز رودخانه سیکان با مساحت ۷۴/۵ کیلومترمربع و میانگین بارش سالانه ۵۱۶/۵ میلی‌متر، در محدوده طول جغرافیایی ۱۵° ۴۷' تا ۲۲° ۴۷' و در عرض جغرافیایی ۵° ۳۳' تا ۱۰° ۳۳' در شهرستان دره شهر استان ایلام و در حد فاصل رشته‌کوه کیرکوه در جنوب و رودخانه سیمره در شمال واقع شده است. این حوضه شامل رودخانه سیکان و اراضی شمال شهرستان دره شهر از حاشیه دشت تا محور رودخانه سیمره است. حوضه سیکان بخش کوچکی است از حوضه رودخانه سیمره بوده که خود از زیر حوضه‌های رودخانه کرخه می‌باشد. حداقل ارتفاع حوضه رودخانه سیکان در متهی‌الیه جنوب غربی قلل رشته کوه کیرکوه با ارتفاع ۲۱۹۰ متر از سطح دریاهای آزاد واقع شده است و پست‌ترین نقطه در شمال شرقی و حاشیه رودخانه سیمره با ۵۶۲ متر قرار دارد. در این حوضه چند نقطه روستایی وجود دارد، که همگی در کنار رودخانه سیکان استقرار یافته‌اند. جاده ارتباطی نیز به موازات رودخانه نقاط روستایی را به هم متصل نموده است (شکل ۱).



شکل ۱- موقعیت جغرافیایی منطقه مورد مطالعه

## ۲-۲- مواد و روش

### ۱-۲-۲- داده‌ها و ابزارهای پژوهش

داده‌ها و ابزارهای مورد استفاده در پژوهش شامل: لایه‌های رقومی ۲۵۰۰۰ سازمان نقشه‌برداری کشور، مدل رقومی ارتفاعی با تفکیک<sup>۱</sup> ۱۰ متری، آمار بارندگی روزانه، ماهانه، سالانه از سازمان هواسناسی کشور، تصویر ماهواره‌ای سنجنده سنتینل<sup>۲</sup> (۱۸ آوریل ۲۰۱۸) منطقه مورد مطالعه از سایت [www.usgs.gov](http://www.usgs.gov) و گزارش و داده‌های آزمایشگاهی خاک حوضه مورد مطالعه از معاونت آبخیزداری سازمان جنگل‌ها مراتع و آبخیزداری کشور می‌باشد. در این پژوهش از نرم‌افزارهای ArcGIS 10.3 جهت ترسیم نقشه‌ها و تحلیل‌های مرتبط به آن؛ ۵.۳ ENVI جهت تهیه لایه‌های پوشش گیاهی (NDVI) و کاربری اراضی منطقه مورد مطالعه و از نرم‌افزارهای آماری همچون Exell و Spss جهت محاسبات آماری و روابط رگرسیونی معادلات بهره‌گیری شده است. از نرم‌افزارها و ابزارهای جانبی دیگری همچون GPS، Google Earth نیز جهت برداشت نقاط کترلی و تهیه برخی از اطلاعات مورد نیاز استفاده گردیده است.

## ۲-۲-۲- روش تحقیق

### ۱-۲-۲-۲- معادله جهانی فرسایش خاک اصلاح شده (RUSLE)

این فرمول پس از ۳۰ سال مطالعه در مورد فرسایش آبی در ۴۶ ایستگاه تحقیقاتی در ۲۶ ایالت مختلف آمریکا با شرایط مختلف جغرافیایی و آب و هوایی، با در نظر گرفتن نتایج بررسی‌های دیگران به دست آمده است. این معادله به فرمول جهانی فرسایش خاک معروف است (ویشمایر و اسمیت، ۱۹۷۸).

$$A = R * K * L * S * C * P \quad (1)$$

A: مقدار خاک فرسایش یافته به وسیله فرسایش ورقه‌ای و شیاری بر حسب جرم در واحد سطح در واحد زمان، R: عامل فرسایندگی بارندگی، K: عامل فرسایش پذیری خاک است و حساسیت ذاتی خاک را مشخص می‌کند، L: عامل طول شیب، S: عامل درجه شیب زمین، C: عامل پوشش گیاهی و P: عامل حفاظت خاک می‌باشد. A: بر حسب تن در هکتار در سال، R: بر حسب مگاژول میلی متر در هکتار ساعت سال، K: بر حسب تن ساعت بر مگاژول بر میلی متر، و P, C, S, L نیز بدون واحد هستند (رنارد و همکاران<sup>۳</sup>، ۱۹۹۷).

1 Digital Elevation Model (DEM)

2 Sentinel-2

3 Renard et al

### - عامل فرسایندگی بارندگی<sup>۱</sup> (R)

مفهوم فرسایندگی باران توسط ویشمایر و اسمیت (۱۹۷۸) به منظور لحاظ نمودن تأثیر اقلیم بر فرسایش خاک ارائه گردید. پتانسیل باران در ایجاد فرسایش، فرسایندگی باران خوانده می‌شود که تابعی از خصوصیات فیزیکی بارندگی است و با انرژی مستقیم باران، انرژی جنبشی بارندگی و حداقل شدت بارندگی ۳۰ دقیقه‌ای در ارتباط است. از آنجایی که نمودار بارندگی و داده‌های تفصیلی رگبار (شدت بارندگی) به ندرت در ایستگاه‌های هواشناسی موجود می‌باشد، R را می‌توان با استفاده از شاخص اصلاح شده فونیز تخمین زد (لی و همکاران<sup>۲</sup>، ۲۰۱۰)؛ بنابراین برای محاسبه فاکتور R پس از تعیین ایستگاه‌های شاخص در منطقه مورد مطالعه، بارندگی ماهانه و سالیانه ۱۷ ساله در ۱۰ ایستگاه مجاور حوضه استخراج گردید. با توجه به کامل بودن داده‌ها در دوره آماری مدنظر بازسازی داده‌ها صورت نگرفت. در مرحله بعد با استفاده از معادله زیر، شاخص فونیز و فاکتور R برای تمام ایستگاه‌ها محاسبه گردید. شاخص فونیز بر اساس رابطه شماره دو محاسبه می‌گردد: (رنارد و فریدمند، ۱۹۹۴).

$$P = \sum_{i=12}^{12} \frac{p_i^2}{\bar{p}} \quad \text{رابطه (۲)}$$

در این رابطه  $p_i$ : متوسط بارندگی (میلی‌متر) در ماه i و  $\bar{p}$ : متوسط بارندگی سالیانه (میلی‌متر) است. در این مطالعه با استفاده از رابطه (۲)، شاخص فونیز برای تمام ایستگاه‌ها محاسبه گردید و مقدار R برای هر یک از ایستگاه‌های شاخص بر اساس روابط زیر محاسبه گردید.

$$R\text{-Factor} = (0.07397 * F^{1.847}) / 17.2 \quad \text{رابطه (۳)}$$

$$F < 55\text{mm}$$

$$R\text{-Factor} = (95.77 - 6.081 * F + 0.4770 * F^2) / 17.2 \quad \text{رابطه (۴)}$$

$$F \geq 55\text{ mm}$$

با توجه به دامنه تغییرات ارتفاع حوضه مورد مطالعه (۵۸۰ الی ۲۱۲۰ متر)، بین ارتفاع ایستگاه‌ها و مقدار R محاسبه شده، یک رابطه رگرسیونی برقرار گردید. در نهایت در محیط ArcGIS مقدار R برای قسمت‌های مختلف حوضه براساس مدل رقومی ارتفاعی تعمیم و خروجی آن به صورت رستر تهیه گردید.

### - عامل فرسایش پذیری خاک<sup>۳</sup> (K)

فرسایندگی خاک، یعنی مقاومت خاک در برابر جداشدن و مقاومت ذرات در برابر انتقال (شی<sup>۴</sup>، ۲۰۰۲). اگرچه مقاومت خاک نسبت به فرسایش تا اندازه‌ای به وضعیت پستی و بلندی، درجه شیب، و اثر تخریبی انسان‌ها بستگی دارد؛ اما فرسایش پذیری به عواملی از قبیل بافت خاک، پایداری دانه خاکدانه‌ها، مقاومت برشی، ظرفیت نفوذ و مقدار

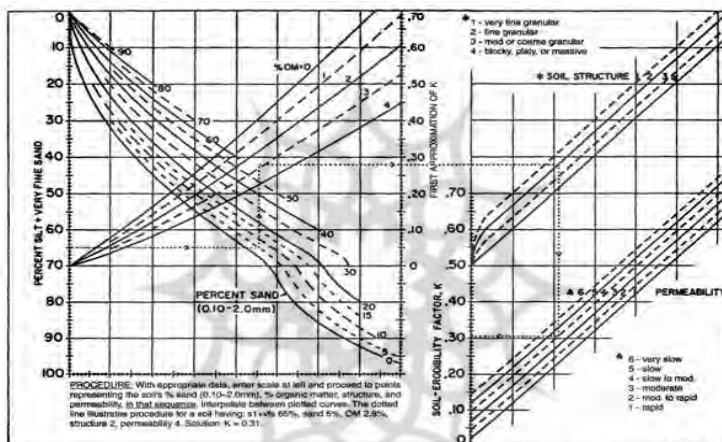
1 Rain erosivity factor

2 Li et al

3 Soil erodibility factor

4 Shi

مواد آلی و شیمیایی نیز بستگی دارد. بررسی‌ها نشان داده است که هرچه مقدار سیلت خاک بیشتر باشد فرسایش پذیری خاک افزایش می‌یابد و هر چه ذرات خاک درشت‌تر باشند مقاومت بیشتری نسبت به انتقال نشان می‌دهند. محاسبه ضریب  $K$  نیاز به پنج پارامتر خاک شامل نفوذپذیری، بافت خاک، درصد شن، درصد سیلت و درصد مواد آلی می‌باشد. در این پژوهش مقدار  $K$  بر اساس نتایج حاصله از مطالعات خاکشناسی و اطلاعات آزمایشگاهی<sup>۹</sup> نمونه پروفیل خاک در اجزاء واحدهای اراضی حوضه سیمراه و با استفاده از نمودار Soil Erodibility Nomograph که توسط ویشمایر در سال ۱۹۸۷ ارائه گردیده است، استخراج گردید (شکل ۲). برای تبدیل به واحد متريک، مقادير  $K$  در  $1317/0$  ضرب شد که در نتیجه مقدار فرسایش‌پذیری خاک بر حسب  $t \text{ h MJ}^{-1} \text{ mm}^{-1}$  به دست آمد (محمدی و همکاران، ۱۳۹۷).



شکل ۲ - نموگراف تعیین حساسیت فرسایش پذیری خاک

### - عامل شیب و طول شیب<sup>۱</sup> (LS)

طول شیب به فاصله میان نقطه شروع رواناب سطحی در حوضه آبریز تا نقطه‌ای که شیب آنقدر کم می‌شود که مواد محموله آن ته نشست می‌کند و یا نقطه‌ای که جریانات سطحی به یک نهر طبیعی یا مصنوعی وارد می‌شود گفته می‌شود (خوزه و همکاران، ۲۰۰۰). با بلندتر شدن شیب بنابر دلایل زیاد فرسایش افزایش پیدا می‌کند، پاشمان خاک به طرف پایین شیب زیاد شده، رواناب بیشتری جاری می‌گردد و این رواناب با سرعت بیشتری به سمت پایین می‌آید. همچنین عامل درصد شیب که تابعی از درجه شیب است، منعکس‌کننده اثر درجه شیب بر میزان فرسایش است. در معادله جهانی تجدید نظر شده خاک این دو عامل به عنوان تأثیر عامل توپوگرافی در فرسایش در نظر گرفته می‌-

<sup>1</sup> Topographic factor

<sup>2</sup> Jose et al

شود که افزایش میزان آن‌ها موجب تشدید فرسایش خاک می‌شود. است (گاناسری و رامش<sup>۱</sup>، ۲۰۱۶). با استفاده از مدل رقومی ارتفاعی با اندازه سلول ۱۰ متری و روابط ۵ تا ۸ مقدار LS برای حوضه محاسبه می‌گردد (تنگ و همکاران<sup>۲</sup>، ۲۰۱۶).

$$L = [(Flow Accumulation) * \frac{Cell Size}{22.1}]^m \quad (5)$$

$$m = \frac{\beta}{\beta+1} \quad (6)$$

$$\beta = \frac{\sin \theta (\text{Slope}=0.01745)}{[3 * (\sin \theta)^{0.8} + 0.56]} \quad (7)$$

$$S = \begin{cases} 10.8 \sin \theta + 0.03, & S < 9\% \\ 16.8 \sin \theta - 0.5, & S \geq 9\% \end{cases} \quad (8)$$

زاویه شیب بر حسب درصد است. برای به دست آوردن عامل LS در محیط ArcMap از طریق مدل رقومی ارتفاعی (Dem) ۱۰ متری، دو لایه شیب و جریان تجمعی ایجاد گردید و با قرار دادن لایه‌های مذکور در روابط ۵ تا ۸ عامل LS به دست آمد.

#### - عامل پوشش گیاهی<sup>۳</sup> (C)

عامل C اثر گیاهان، پوشش خاک، هوموس خاک و فعالیت‌های موجودات خاک بر روی فرسایش را نشان می‌دهد. از این عامل برای انعکاس اثر کشت و مدیریت اراضی بر فرسایش استفاده می‌شود. این فاکتور بیانگر مقدار خاک از بین رفته از زمین زیر کشت، به خاک فرسوده شده از همان قطعه زمین در طی آیش مداوم و عاری از پوشش و بقایای گیاهی می‌باشد. پرکاربردترین معیار رویش گیاه، شاخص تقاضل پوشش گیاهی نرمال شده<sup>۴</sup> است که با فناوری سنجش از دور به دست می‌آید (حبشی و همکاران، ۱۳۹۷). برای فاکتور پوشش گیاهی از شاخص NDVI استخراج شده از تصویر سنجنده ستینل ۲ مربوط به تاریخ ۱۸ آوریل ۲۰۱۸ استفاده شده است. شاخص NDVI بر اساس رابطه شماره ۸ در محیط نرم‌افزار ENVI محاسبه گردید.

$$NDVI = \frac{NIR - RED}{NIR + RED} \quad (9)$$

در این رابطه RED مقدار بازتاب در محلوده باند قرمز و NIR مقدار بازتاب در باند مادون قرمز نزدیک می‌باشد. دامنه تغییرات پوشش گیاهی بین -۱ و +۱ است که هر چه این عدد به انزدیک‌تر باشد نشان‌دهنده پوشش گیاهی بیشتری می‌باشد. +۱ نشان دهنده تراکم زیاد پوشش گیاهی و -۱ نشان دهنده تراکم کم می‌باشد. بین شاخص NDVI و ضریب C یک رابطه کامل معکوس وجود دارد (کارابارون<sup>۵</sup>، ۲۰۱۰)؛ بدین معنی که با افزایش شاخص

1 Ganasri & Ramesh

2 Teng et al.

3 Vegetation factor

4 Normalized Difference Vegetation index (NDVI)

5 Karaburun

NDVI ضریب C کاهش می‌یابد. هر چه این ضریب کاهش پیدا کند بدین معنی است که در حوضه پوشش گیاهی آن بیشتر است و فرسایش کمتری در حوضه صورت می‌گیرد. مقادیر فاکتور C بین صفر و یک متغیر بوده و با استفاده از رابطه شماره (۱۰) محاسبه می‌گردد (آرخی و نیازی، ۱۳۸۹).

$$C = ((1 - NDVI) / 2) \quad (10)$$

#### - عامل حفاظت خاک<sup>۱</sup> (P)

عامل حفاظت خاک عبارت است از نسبت مقدار خاک از بین رفته در واحد سطح یک زمین حفاظت شده؛ به زمینی که لخت بوده و درجهت بالا و پایین تندترین شیب، شخم زده شودمنظور از کارهای حفاظتی، بیشتر کشت در روی خطوط تراز، کشت نواری و تراس بندی، درختکاری، جلوگیری از قطع بی‌رویه درختان و جلوگیری از چرای بی‌رویه دام است (ویشمایر و اسمیت، ۱۹۷۸). اگر هیچ‌گونه عملیات حفاظتی انجام نگیرد P برابر با یک خواهد بود. در مناطقی که وسعت منطقه مطالعه زیاد باشد، عامل حفاظت خاک از طریق اثر خطوط هم‌تراز شیب بر مقدار فرسایش خاک بررسی می‌شود؛ زیرا مناطق هم‌تراز شیب از نظر مقدار عامل حفاظت خاک، ارزش یکسانی به خود اختصاص می‌دهند. برای به دست آوردن مقادیر عامل حفاظت خاک، از طریق خطوط هم‌تراز شیب، ویشمایر و اسمیت جدول (۱) را ارائه دادند (تنگ و همکاران، ۲۰۱۶؛ دریوسکی و همکاران<sup>۲</sup>، ۲۰۱۴). در این مطالعه با استفاده از مدل رقومی ارتفاعی با اندازه پیکسل ۱۰ متر، لایه شیب برای منطقه مورد مطالعه مطابق با جدول (۱) تهیه و طبقه-بندی شد.

جدول ۱- عامل حفاظتی در شیب‌های مختلف (ویشمایر و اسمیت، ۱۹۷۸)

P	شیب (درصد)
۰/۶	کمتر از ۳
۰/۵	۶-۳
۰/۵	۹-۶
۰/۶	۱۲-۹
۰/۷	۱۵-۱۲
۰/۸	۲۰-۱۵
۰/۹	۲۵-۲۰
۱	بیشتر از ۲۵

1 protection factor  
2 Drzewiecki et al

برای تهیه نقشه کاربری اراضی منطقه ابتدا تصویر ماهواره سنتینل ۲ مربوط به تاریخ ۱۸ آوریل ۲۰۱۸ دانلود گردید و سپس در محیط ENVI 5.3 با روش طبقه‌بندی نظارت شده، الگوریتم حداکثر احتمال به طبقه‌بندی کاربری‌های موجود در حوضه پرداخته شد. به منظور بالا بردن دقت کار، از نقاط برداشت‌شده در سطح حوضه به وسیله GPS، و همچنین تصاویر Google Earth سال ۲۰۱۸ جهت کنترل کاربری‌ها بر روی تصویر ماهواره‌ای و تطبیق نقاط میدانی با تصویر ماهواره‌ای استفاده گردید که در نهایت کاربری‌های اراضی در ۹ طبقه برای حوضه آبریز سیکان استخراج گردید. پس از آماده‌سازی و تهیه لایه‌های اطلاعاتی مورد نیاز بصورت رس‌تری، مقدار هدر رفت Spatial Analyst سالیانه خاک از طریق حاصل ضرب عامل‌های مدل RUSLE با توجه به رابطه (۱) با استفاده تابع و گرینه Raster Calculator در محیط ArcGIS بر حسب تن بر هکتار در سال محاسبه گردید. سپس در محیط Arcmap با استفاده از Extensions zonal statistic لایه فرسایش حوضه و نقشه کاربری اراضی روی هم قرار داده شده و مقادیر فرسایش در هر یک از کاربری‌ها مشخص گردید.

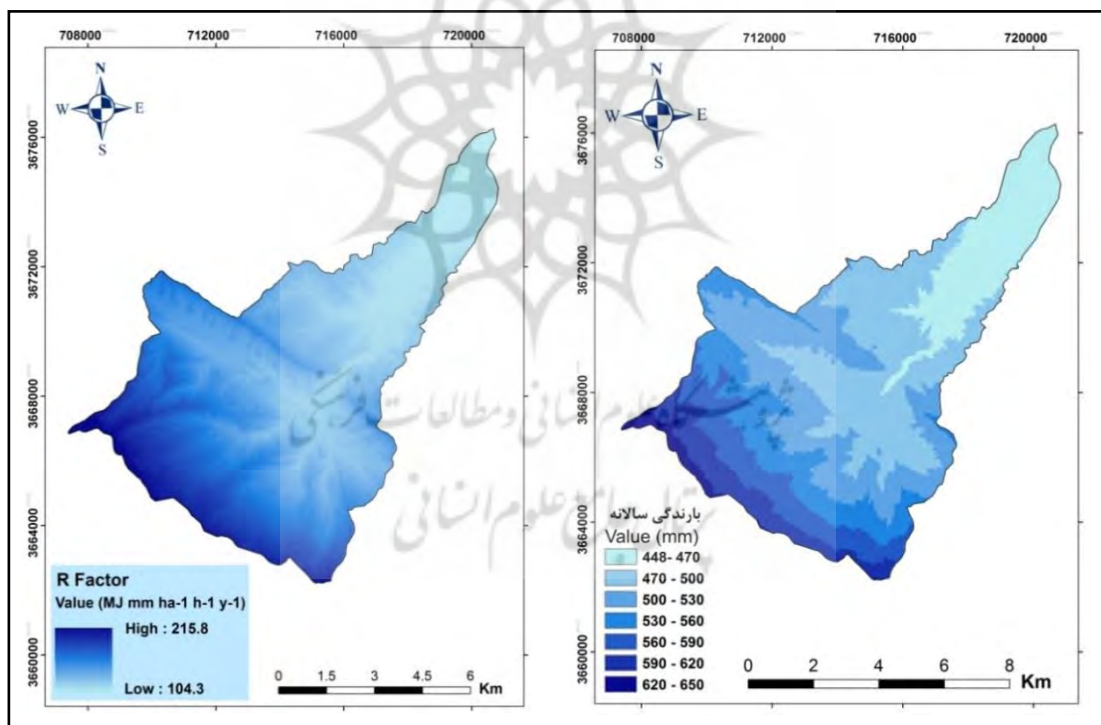
### ۳- نتایج و بحث

#### ۱-۱- مقادیر فاکتورهای مدل RUSLE در حوضه آبریز سیکان

مقادیر شاخص فورنیه و فرسایندگی باران با استفاده از رابطه‌های (۲، ۳ و ۴) برای ۱۰ ایستگاه منطقه طی یک دوره آماری ۱۷ ساله محاسبه شد (جدول ۲). مقادیر عامل  $R$  از ۱۰۴/۳۲ تا ۲۱۵/۸۱ بر حسب  $MJ\ mm\ ha^{-1}\ h^{-1}\ y^{-1}$  متغیر و متوسط آن ۱۴۲/۰۸ می‌باشد. بالاترین ارزش عامل  $R$  در جنوب غربی و جنوب حوضه است که بیشترین بارندگی را دارد و کمترین مقادیر آن بر خروجی حوضه منطبق می‌باشد (شکل ۴). به طورکلی هر چه خروجی حوضه به سمت ارتفاعات بالا دست پیش می‌رویم مقادیر  $R$  بیشتر می‌شود ( $R^2=0.73$ ). نتایج نشان می‌دهد که مناطق مرتفع کمیرکوه که دارای بیشترین مقادیر بارندگی هستند مقدار  $R$  بیشتری را به خود اختصاص داده است. بین بارش سالانه و مقادیر  $R$  نیز همبستگی ( $R^2=0.74$ ) برقرار می‌باشد. بایانی همکاران (۱۳۹۵) در پژوهشی که در حوضه آبریز کن انجام دادند، نشان دادند که مقادیر زیاد فرسایندگی بیشتر در مناطقی دیده می‌شود که میزان بارش در منطقه زیاد باشد. البته این امر همیشه صادق نبوده و محققان دیگری در سایر مناطق با مقادیر بارندگی مشابه مقادیر کمتری را به دست آورده‌اند. (آرخی و نیازی، ۱۳۸۹) در حوضه آبریز سد ایلام نیز نشان دادند که افزایش و کاهش فاکتور  $R$  رابطه نزدیکی با افزایش و کاهش ارتفاع و میزان بارندگی منطقه دارد که با مقادیر  $R$  پژوهش حاضر مطابقت دارد. مقادیر شاخص فورنیه و فرسایندگی هر یک از ایستگاه‌ها در جدول (۲) ارائه گردیده است.

جدول ۲ - مقادیر شاخص‌های F و R در ایستگاه‌های مختلف مجاور حوضه سیکان

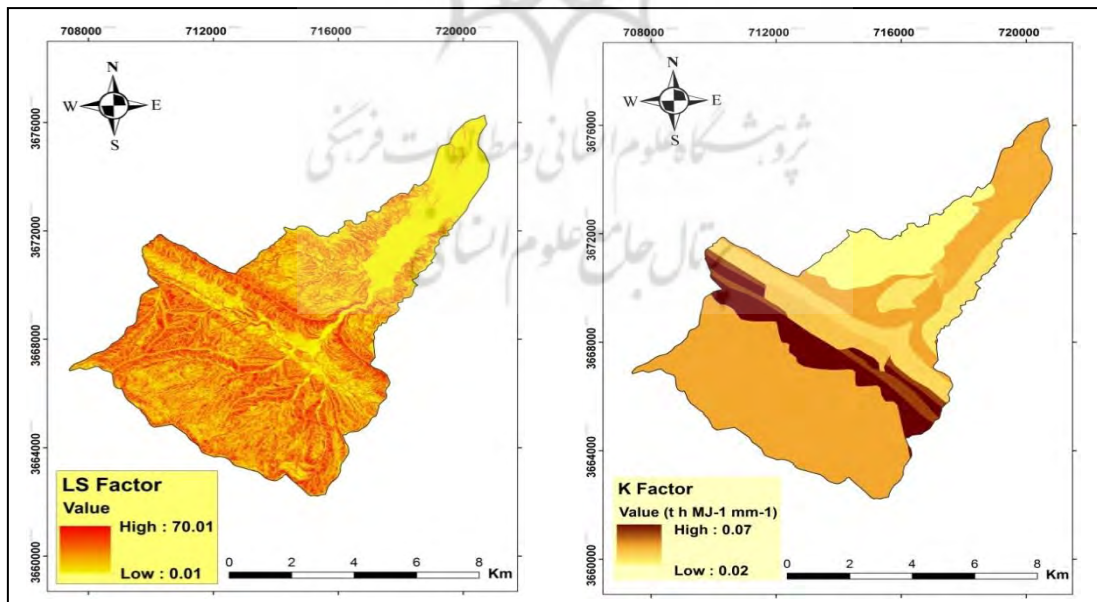
R	MFI	میانگین بارندگی (mm)	ارتفاع (m)	عرض جغرافیایی	طول جغرافیایی	ایستگاه
۱۵۹/۱	۸۱/۰	۵۳۳/۹	۱۳۶۲	۳۳/۶۲	۴۷/۴۱	ایلام
۱۵۸/۰	۸۰/۸	۵۳۹/۱	۹۲۰	۳۳/۰	۴۷/۴۲	آبدانان
۱۳۵/۸	۷۵/۲	۵۰۶/۲	۱۰۶۰	۳۳/۳۱	۴۷/۰۴	بدره
۱۲۲/۱	۷۱/۰	۴۷۸/۰	۸۹۳	۳۳/۲۷	۴۷/۱۶	چشممه شیرین
۱۱۵/۹	۶۹/۸	۴۶۵/۵	۶۹۷	۳۳/۲۳	۴۷/۲۲	زرانگوش
۹۳/۳	۶۳/۰	۴۲۸/۴	۶۳۰	۳۳/۱۴	۴۷/۴۱	دره شهر
۱۱۰/۰	۶۸/۱	۴۶۴/۳	۶۱۴	۳۳/۰۷	۴۷/۰۵	دشت چمران
۱۴۴/۰	۷۷/۳	۵۴۰/۰	۱۲۳۰	۳۳/۲۳	۴۷/۹۲	میمه
۱۲۴/۲	۷۲/۱	۴۸۴/۹	۴۵۵	۳۲/۹۵	۴۷/۷۹	مازین
۱۰۰/۲	۶۶/۷	۴۰۱/۰	۶۳۶	۳۳/۱۸	۴۷/۳۵	گل زرد



شکل ۴ - نقشه فاکتور فرسایندگی باران

شکل ۳ - نقشه بارندگی سالانه حوضه

مقادیر فرسایش پذیری خاک ( $K$ ) با استفاده از نمونه‌های پروفیل خاک حوضه آبریز سیمره و نموگراف تعیین حساسیت فرسایش پذیری خاک برای هر کدام از اجزاء واحدهای اراضی خاک تعیین گردید که مقادیر آن از  $0.02$  تا  $0.07 \text{ t h MJ}^{-1} \text{ mm}^{-1}$  متغیر بوده و متوسط مقدار آن  $0.04$  می‌باشد (شکل ۵). همچنین مقادیر انحراف از معیار این فاکتور  $0.01$  می‌باشد. بیشترین مقدار  $K$  با روندی عرضی در قسمت‌های میانی حوضه قرار دارد که بیشتر منطبق بر سازند زمین شناسی ایلام- سورگاه می‌باشد. سازند سورگاه از تناب شیل‌های خاکستری روشن تا تیره و لایه‌های آهک تشکیل شده است. سازند ایلام نیز شامل آهک‌های رسی ریزدانه خاکستری روشن تا تیره و لایه‌های نازک شیل در لایه‌ای آهک‌ها می‌باشد. مقادیر بیشتر  $K$  نشان‌دهنده بیشتر بودن ذرات بسیار ریز شن و سیلت است که در نهایت سبب افزایش فرسایش‌پذیری خاک می‌شود (محمدی و همکاران، ۱۳۹۷). محمدی و همکاران (۱۳۹۷) در پژوهشی با استفاده از مدل RUSLE به برآورد مکانی فرسایش در مقیاش کشور ایران پرداختند و در آن مقادیر  $K$  را برای ایران از صفر تا  $0.04$  برآورد کردند. عامل  $LS$  با استفاده از روابط  $5$  تا  $8$  و مدل رقومی ارتفاعی حوضه با در نظر گرفتن کنش متقابل بین توپوگرافی جریان تجمعی آب محاسبه گردید. مقدار این عامل در حوضه موردمطالعه از  $0.01$  تا  $0.07$  در سطح پیکسل متغیر بوده و مقدار متوسط آن در حوضه  $0.04$  می‌باشد. بیشترین ارزش  $LS$  در مناطق با شبی تند کوهستانی و شبی‌های مجاور آبراهه‌ها و کمترین مقدار آن بر اراضی مسطح و نسبتاً هموار کشاورزی و خط القعر آبراهه‌ها منطبق است. این عامل در مطالعات مختلف با توجه به توپوگرافی هر منطقه و همچنین بی بعد بودن آن، دامنه‌های متفاوتی را نشان می‌دهد.

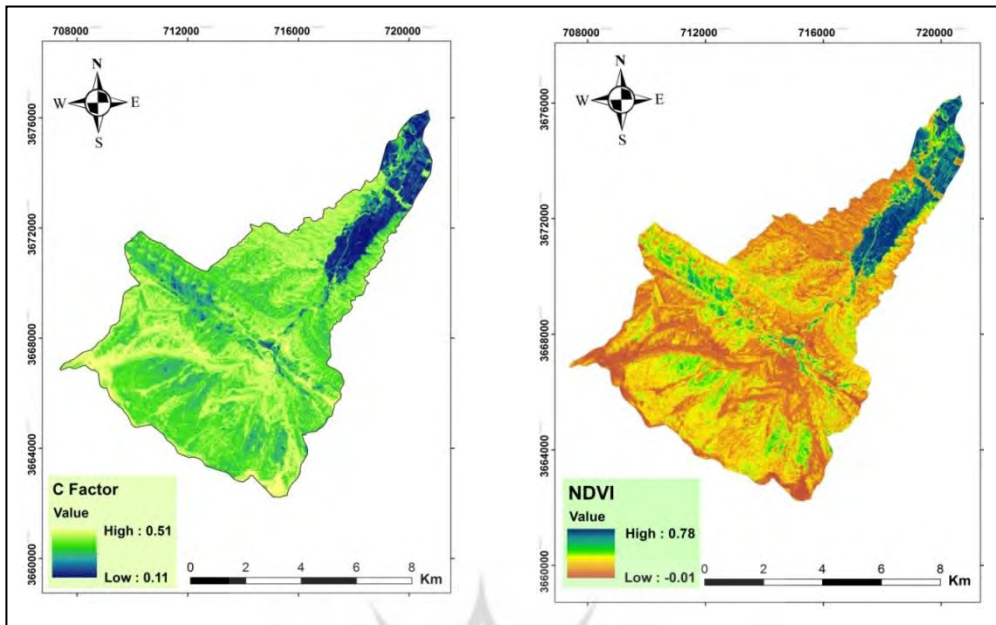


شکل ۶- نقشه فاکتور فرسایش‌پذیری خاک

شکل ۵- نقشه فاکتور فرسایش‌پذیری خاک

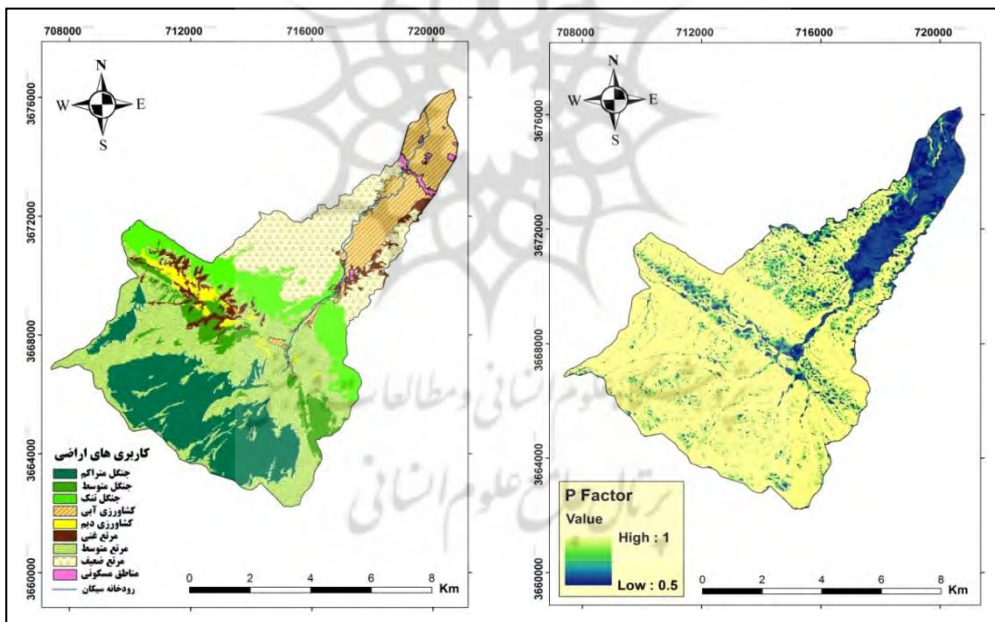
از تراکم پوشش گیاهی به دست آمده از ماهواره ستینل ۲ و تطابق آن با کاربری‌های اراضی و با استفاده از رابطه-های (۹ و ۱۰) عامل C محاسبه گردید. عامل C عکس مقادیر NDVI می‌باشد به عبارتی با افزایش در شاخص میزان فاکتور C کاهش می‌یابد. مقادیر عامل C از ۱۱/۰ تا ۵۱/۰ متغیر بوده و متوسط آن در حوضه برابر با ۳۶/۰ می‌باشد. این عامل در اراضی کشاورزی که در پایین دست حوضه قرار دارند دارای میانگین ۷/۰ و ارزش ۱۱/۰ میانگین ۴۷/۰ می‌باشد که نسبتاً از پوشش گیاهی مناسبی برخوردار می‌باشند (شکل ۸). همچنین بیشترین ارزش عامل C با میانگین ۴۱/۰ و ۴/۰ به ترتیب مربوط به مراعع متوسط و ضعیف می‌باشد که از پوشش گیاهی کمتری برخوردار می‌باشد. مقادیر تراکم پوشش گیاهی حوضه نیز از در دامنه ۰/۰۱ تا ۰/۷۸ قرار دارد و میانگین آن ۰/۲۸ می‌باشد (شکل ۷). بیشترین ارزش NDVI با میانگین ۶/۰ در اراضی کشاورزی و کمترین مقدار آن در با میانگین ۰/۱۷ در مراعع متوسط می‌باشد. عامل حفاظت خاک با استفاده از طبقه‌بندی لایه درصد شیب حوضه و بر اساس جدول شماره (۱)، محاسبه گردید که مقادیر آن از ۵/۰ تا ۱ می‌باشد. متوسط مقدار این عامل در حوضه ۹۰/۰ است. همانطور که نشان می‌دهد به دلیل کوهستانی و پرشیب بودن، بخش اعظم حوضه فاقد هرگونه عملیات حفاظتی می‌باشد. مناطق با مقادیر متوسط، منطبق بر اراضی کشاورزی پایین دست حوضه و خط‌القعرهایی است که شیب پروفیل طولی آنها ملایم می‌شود (شکل ۹). در نهایت هر یک از کاربری‌های اراضی با استفاده از تصویر ماهواره‌ای ستینل ۲ مربوط به آوریل ۲۰۱۸ و تطبیق با نقاط کترلی و تصاویر Google Earth با روش حداقل احتمال و طبقه‌بندی نظارت شده، در ۹ کاربری طبقه‌بندی شدند که کاربری مرتع متوسط با ۶/۲۹ درصد از مساحت حوضه بیشترین و مناطق مسکونی با ۶/۰ درصد کمترین کاربری را به خود اختصاص داده‌ند. اراضی کشاورزی آبی به موازات رودخانه سیکان در پایین دست حوضه استقرار دارند و مناطق مسکونی نیز در جوار رودخانه سیکان و اراضی کشاورزی کشیده شده‌اند (شکل ۱۰).

پژوهشگاه علوم انسانی و مطالعات فرهنگی  
پرستال جامع علوم انسانی



شکل ۸- نقشه فاکتور پوشش گیاهی

شکل ۷- نقشه شاخص پوشش گیاهی



شکل ۱۰- نقشه کاربری‌های اراضی حوضه سیکان

شکل ۹- نقشه فاکتور حفاظت خاک

### جدول ۳- آمارهای مربوط به عامل‌های مدل RUSLE

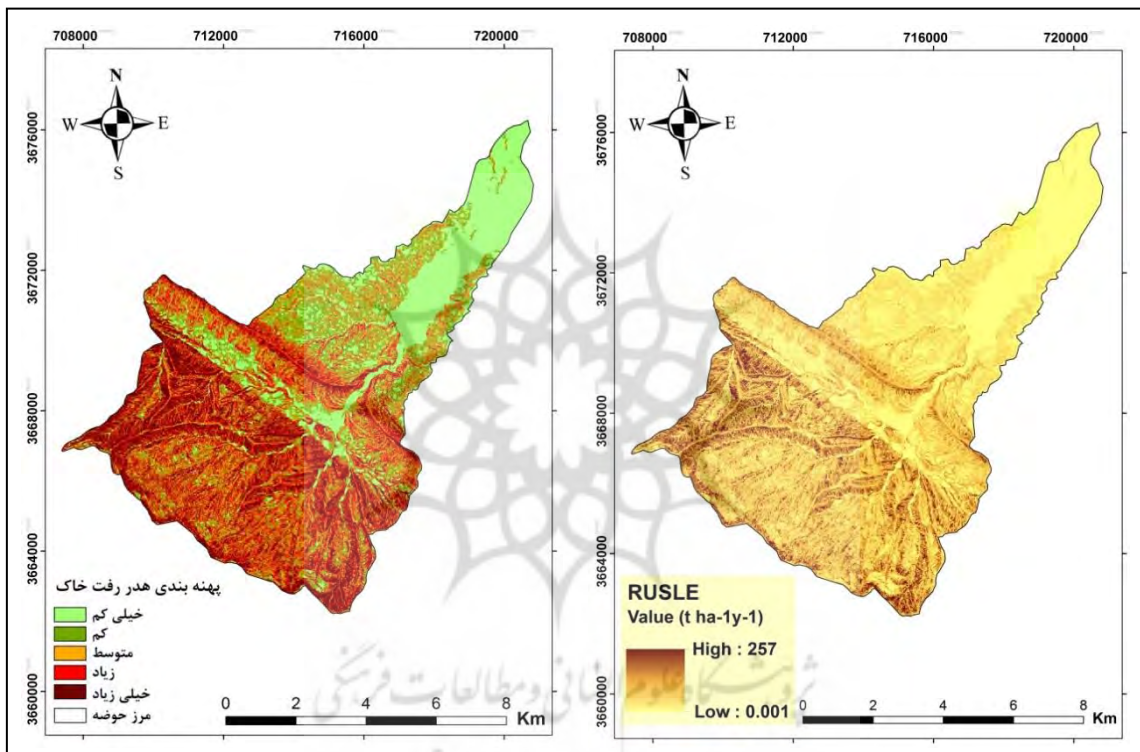
P عامل	C عامل	LS عامل	K عامل	R عامل	
۰/۵	۰/۱۱	۰/۰۱	۰/۰۲	۱۰۴/۳	حداقل
۱	۰/۰۱	۷۰	۰/۰۷	۲۱۵/۸	حداکثر
۰/۹	۰/۳۶	۶۷۱	۰/۰۴	۱۴۲/۰۸	میانگین
۰/۱۷	۰/۰۸	۶/۱۹	۰/۰۱	۲۵/۴۹	انحراف معیار

### ۲- برآورد هدر رفت سالیانه خاک به تفکیک کاربری‌های اراضی

هدر رفت سالیانه خاک حوضه آبریز سیکان از طریق حاصل ضرب عامل‌های فرسایندگی (R)، فرسایش پذیری (K)، توپوگرافی (LS)، پوشش گیاهی (C) و عملیات حفاظتی (P)، در اکستشن Raster Calculator 10.3 محیط ArcGIS با استفاده از رابطه (۱) محاسبه شد (شکل ۱۱). با توجه به مدل فرسایش حوضه، مقادیر فرسایش خاک در حوضه موردمطالعه بین ۰/۰۰۱ تا ۲۵۷ تن در هکتار در سال در سطح پیکسل متغیر می‌باشد. میزان کل فرسایش در کل حوضه آبریز سیکان برابر با ۱۲۸۱۱۰۰۴/۳ تن در سال در سطح پیکسل برآورد گردید؛ همچنین میانگین مقادیر فرسایش خاک در منطقه موردمطالعه ۱۷/۶۲ و انحراف معیار آن برابر با ۱۹/۱۲ تن در هکتار در سال می‌باشد. مهدیان (۱۳۸۴) در مطالعه‌ای مقدار متوسط فرسایش خاک را برای اغلب زیرحوضه‌های ایران بین ۸ تا ۱۶ تن بر هکتار در سال برآورد کرد که مقادیر آن تقریباً با پژوهش حاضر مطابقت دارد. همچنین بیگلربیگی و همکاران (۱۳۸۷) در سند توسعه طبیعی در افق ۱۴۰۴ فرسایش خاک را در سطح ۱۲۵ میلیون هکتار از حوضه‌های آبخیز کشور حدود ۲۵ تا ۳۰ تن در هکتار در سال تعیین کرد که تقریباً ۱/۵ تا ۲ برابر فرسایش برآورد شده در پژوهش حاضر می‌باشد. محمدی و همکاران (۱۳۹۷) نیز در پژوهشی فرسایش خاک را در مقیاس کشور ایران حدود ۲۴ تن در هکتار در سال و بیشترین مقدار فرسایش خاک را در بسیاری از مناطق زاگرس (لرستان، چهارمحال و بختیاری، کهگیلویه و بویراحمد، ایلام و کرمانشاه) بالاتر از ۶۰ تن بر هکتار در سال برآورد نموده که بسیار بالاتر از مقداری است که در حوضه موردمطالعه به دست آمده است. دامنه مقادیر فرسایش حوضه با استفاده از روش Quantile به پنج کلاس طبقه-بندی گردید (شکل ۱۲). این روش که به روش هم فراوانی معروف است، طبقات را به گونه‌ای تقسیم‌بندی می‌کند که هر طبقه دارای فراوانی مساوی باشد. با تعیین تعداد طبقات، داده‌ها طوری تقسیم‌بندی می‌شوند که در هر طبقه فراوانی یکسان توزیع شده باشد؛ بنابراین ممکن است فواصل ستون‌ها با هم دیگر مساوی نباشند. نتایج نشان می‌دهد که ۲۳/۴۲ درصد از حوضه با دامنه فرسایشی در طبقه با خطر فرسایش زیاد و ۱۷/۷۸ درصد از حوضه موردمطالعه در طبقه خطر فرسایش کم قرار دارد.

#### جدول ۴- طبقه‌بندی هدر رفت خاک حوضه آبریز سیکان

طبقه‌بندی فرسایش	دامنه طبقه	مساحت (km <sup>2</sup> )	درصد مساحت
کم خیلی	۰-۲	۱۶/۲۹	۲۱/۸۶
کم	۲-۸	۱۳/۲۵	۱۷/۷۸
متوسط	۸-۱۶	۱۴/۰۱	۱۸/۸
زیاد	۱۶-۳۲	۱۷/۴۵	۲۳/۴۲
خیلی زیاد	۳۲>	۱۳/۵۱	۱۸/۱۳



شکل ۱۱- نقشه فرسایش خاک حوضه سیکان

با تلفیق لایه‌های مدل فرسایش و کاربری اراضی با استفاده از اکستنشن zonal statistic as table در محیط Arcmap مقادیر هدر رفت خاک در هر کدام از کاربری‌های موجود در حوضه برآورد گردید (جدول ۵). نتایج نشان داد که کاربری کشاورزی آبی با میانگین ۰/۴۳ و انحراف معیار ۱/۲ تن در هکتار در سال و کاربری مراعع متوسط با میانگین ۰/۲۸ و انحراف معیار ۰/۲۲ تن در هکتار در سال به ترتیب کمترین و بیشترین هدر رفت خاک را در بین کاربری‌های مختلف به خود اختصاص داده‌اند. مقادیر بالای فرسایش در اراضی جنگلی متوسط نیز با مقادیر ۰/۱۵ و انحراف معیار ۰/۱۸ تن در هکتار در سال نیز قابل توجه می‌باشد. مراعع متوسط به دو علت دارای مقادیر

بالای میانگین فرسایش هستد؛ یکی به علت شیب تند و به تبع آن سرعت رواناب در تخریب و حمل ذرات است که نقش فاکتور LS را تشدید و فاکتور پوشش گیاهی را تضعیف می‌کند و دیگری مقادیر بالای بارش به علت مرتفع بودن می‌باشد که نقش فاکتور فرسایندگی باران (R) را نشان می‌دهد. با توجه به نقشه تراکم پوشش گیاهی (NDVI) بیشترین مقدار NDVI مربوط به اراضی کشاورزی آبی می‌باشد همین باعث گردیده است که اراضی کشاورزی نسبت به کاربری‌های دیگر از میانگین فرسایش کمتری برخودار باشد. در واقع پوشش گیاهی مهم‌ترین مانع در برابر فرسایش می‌باشد. بعد از اراضی کشاورزی آبی، اراضی دیمکاری نیز بدلیل پوشش گیاهی بهتر نسبت به سایر کاربری‌ها از میانگین فرسایش کمتری برخوردار می‌باشد. با توجه به نقشه تراکم پوشش گیاهی و عامل C، اراضی مرتعی متوسط و ضعیف در قسمت جنوبی حوضه دارای مقادیر NDVI پایین‌تری نسبت به سایر کاربرها می‌باشد که همین عامل باعث گردیده که مقادیر میانگین فرسایش در آنها بالا باشد. اراضی مرتعی و جنگلی بهترین مکان برای زیست عشاير منطقه می‌باشند به دلیل وجود علوفه جهت مصرف دام، خاک در سطح اراضی بسیار شکننده و حساس شده و همین امر باعث گردیده که با شروع بارش، رواناب با سرعت بیشتری تشکیل شود و خاک‌هایی که به وسیله دامها و ساکنین منطقه تخریب شده‌اند به وسیله رواناب سریع‌تر انتقال پیدا کنند. از طرفی چون اراضی مرتعی و مشجر در شیب‌های تندتری قرار دارند نسبت به فرسایش بسیار حساس بوده و این می‌تواند مهم‌ترین دلیل میانگین بالای فرسایش در اراضی مرتعی متوسط و تا حدودی اراضی جنگلی باشد که این امر نقش بالای فاکتور LS را به وضوح نشان می‌دهد.

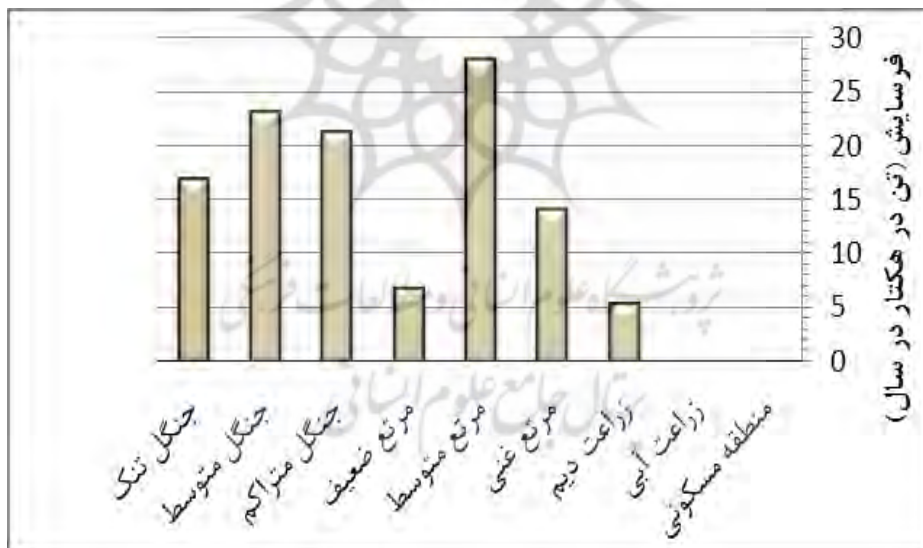
**جدول ۵- مقادیر میانگین و کل فرسایش هر کدام از کاربری‌ها**

کاربری‌های اراضی	مساحت (km <sup>2</sup> )	درصد مساحت	میانگین میزان فرسایش بر حسب (تن در هکtar در سال)	مقدار کل فرسایش در هر کاربری (تن در سال)
اراضی مسکونی	۰/۴۵	۰/۶	۰/۴۴	۱۹۸۹/۶۰
کشاورزی آبی	۸/۲۷	۱۱/۰۹	۰/۴۳	۳۵۹۴۳/۵۳
کشاورزی دیم	۱/۳۵	۱/۸	۵/۵۷	۷۵۰۱۳/۵۷
مرتع غنی	۲/۶۷	۳/۵۸	۱۴/۲۲	۳۷۲۳۳۲/۱۹
مرتع متوسط	۲۲/۰۸	۲۹/۶	۲۷/۹۸	۶۱۴۶۱۱۹/۰۵
مرتع ضعیف	۱۲/۰۴	۱۶/۱۵	۷/۹۴	۸۳۴۴۲۰/۶۳
جنگل متراکم	۱۵/۸۳	۲۱/۲۳	۲۱/۲۵	۲۲۶۶۰۲۷۰۵
جنگل متوسط	۴/۰۲	۵/۳۹	۲۳/۱۵	۸۹۱۲۷۲/۰۱
جنگل تنک	۷/۸۶	۱۰/۵۴	۱۷	۱۳۲۳۶۵۹/۱۴

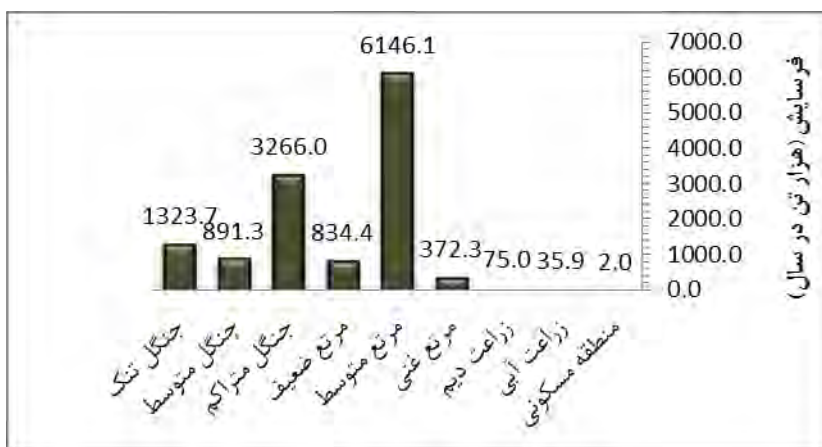
در نهایت با استفاده از یک رابطه رگرسیونی میزان اثرگذاری هریک از عامل‌های مدل RUSLE بر روی هدر رفت خاک تعیین گردید که هدر رفت خاک بعنوان متغیر وابسته و عامل‌های فرسایندگی باران، فرسایش پذیری خاک، پوشش گیاهی، طول و درصد شیب و حفاظت خاک به عنوان متغیر مستقل در نظر گرفته شدند. نتایج نشان داد که عامل توپوگرافی با ضریب همبستگی  $0.90$  بیشترین تأثیر را در هدر رفت سالانه خاک حوضه سیکان دارد (جدول ۶).

جدول ۶- ضریب همبستگی عامل‌های مدل RUSLE با هدر رفت سالانه خاک

عامل	ضریب همبستگی	رابطه رگرسیونی
R	۰/۴۴	$Y = 8.543406x + 001$
K	۰/۳۱	$Y = 2.974429x - 002$
LS	۰/۹۰	$Y = 4.231086x + 001$
C	۰/۳۶	$Y = 2.131682x - 001$
P	۰/۵	$Y = 6.535196x - 001$



شکل ۱۳- نمودار ستونی میانگین هدر رفت خاک در کاربرهای اراضی حوضه سیکان



شکل ۱۴- نمودار ستونی حجم هدر رفت سالانه خاک در هر کدام از کاربرهای اراضی حوضه سیکان

#### ۴- نتیجه‌گیری

امروزه فرسایش خاک به عنوان یکی از مباحث مهم مدیریت حوضه‌های آبریز در سطح ملی و جهانی مطرح می‌باشد. لازمه برنامه‌ریزی و اتخاذ تصمیم درباره مهار فرسایش و رسوب، آگاهی از میزان فرسایش در یک حوضه آبخیز و شناسایی مناطق بحرانی و اولویت‌بندی آنها برای اجرای برنامه‌ها و اقدامات آبخیزداری برای کاهش فرسایش و مهار تولید و حمل رسوب است. در این مطالعه ارزیابی خطر فرسایش خاک در واحدهای کاربری اراضی حوضه آبریز سیکان با استفاده مدل معروف RUSLE در چارچوب سیستم اطلاعات جغرافیایی و با کمک فناوری سنجش از دور به کار گرفته شد. ابتدا هر یک از فاکتورهای K, R, LS, C و P جهت برآورد میزان فرسایش در محیط ArcGIS محاسبه و تلفیق شدند و توزیع مکانی فرسایش در قسمت‌های مختلف حوضه به دست آمد. نتایج نشان داد که مقادیر فرسایش حوضه از ۰/۰۰۱ تا ۲۵۷ تن در هکتار در سال در سطح پیکسل متغیر است و میانگین فرسایش در حوضه موردمطالعه ۱۷/۶۲ تن در هکتار در سال می‌باشد. در گام بعدی با تلفیق لایه‌های مدل فرسایش و کاربری‌های اراضی مقادیر فرسایش خاک در هر کدام از کاربری‌های موجود در حوضه برآورد گردید. مراتع متوسط با میانگین فرسایش ۲۸ تن در هکتار در سال و سطحی در حدود ۳۰ درصد از حوضه، بالاترین مقادیر فرسایش را به خود اختصاص داده است. کاربرهای کشاورزی آبی و مناطق مسکونی نیز با میانگین ۰/۴۳ و ۰/۰۴ تن در هکتار در سال نیز کمترین مقادیر فرسایش خاک را نشان دادند. در این مطالعه همچنین میزان اثرگذاری هریک از عامل‌های RUSLE بر روی هدر رفت خاک نشان داد عامل توبوگرافی با ضریب همبستگی ۰/۹ بیشترین سهم را در فرسایش سالانه خاک حوضه سیکان دارد. درنهایت با طبقه‌بندی مقادیر هدر رفت خاک مشخص گردید که ۲۳/۴۲ درصد از حوضه سیکان در طبقه فرسایشی زیاد و ۱۸/۱۳ درصد از سطح حوضه در طبقه فرسایشی خیلی زیاد قرار دارد که نشان می‌دهد جمعاً حدود ۴۲ درصد از حوضه موردمطالعه با مقادیر بالاتر از ۱۶ تن در هکتار در سال در

وضعیت شدیدی از لحاظ هدر رفت خاک قرار دارند. از جمله کاربردهای مهم طبقه‌بندی فرسایش خاک، شناسایی مناطق بحرانی تخریب و جا به جایی خاک است؛ لذا با توجه به وضعیت فرسایش خاک حوضه سیکان، نقش مدیریت حوضه آبخیز از جمله عملیات‌های حفاظت خاک و آبخیزداری با تمرکز و اولویت کاری در بالادست حوضه و در مناطق با شبیه زیاد بیش از پیش ضرورت می‌یابد.

#### کتابنامه

- آرخی، صالح؛ نیازی، یعقوب؛ ۱۳۸۹. بررسی کاربرد GIS و RS برای تخمین فرسایش خاک و بار رسوب با استفاده مدل RUSLE (مطالعه موردی: حوضه بالادست سد ایلام). مجله پژوهش‌های حفاظت آب و خاک. ۷(۲): ۲۷-۱.
- بابایی، مهناز؛ حسینی، سید زین‌العابدین؛ نظری سامانی، علی اکبر؛ المدرسی، سیدعلی؛ ۱۳۹۵. پنهان‌بندی فرسایش خاک با استفاده از مدل 3D RUSLE. مطالعه موردی: حوزه آبخیز کن. مهندسی و مدیریت آبخیز، ۸(۲): ۱۸-۱۶۵.
- بیگلربیگی، محمد رضا؛ کوچپیده، نورالله؛ پاشاپور، میترا؛ ۱۳۸۷. سند توسعه منابع طبیعی و آبخیزداری در افق ۱۴۰۴. پونه، ۱، صص ۴۴.
- پژوهش، مهدی؛ گرجی، منوچهر؛ طاهری، محمود؛ سرمدیان، فریدون؛ محمدی، جهانگرد؛ صمدی، حسین؛ ۱۳۹۰. اثر کاربری اراضی مختلف حوضه سد زاینده رود علیا در تولید رسوب با استفاده از سامانه اطلاعات جغرافیایی. نشریه پژوهش آب ایران، ۸، صص ۱۵۲-۱۴۳.
- جواندوست، هانیه؛ اونق، مجید؛ حسنعلی‌زاده، محسن؛ سکوتی، رضا؛ ۱۳۹۳. برآورد فاکتور فرسایندگی با استفاده از الگوریتم‌های زمین آمار برای برآورد فرسایش در مدل WaTEM/SEDEM در حوضه رودخانه چای. پانزدهمین کنفرانس دانشجویان عمران سراسر کشور، دانشگاه ارومیه، صص، ۱۱.
- جوزی، سیدعلی؛ مرادی مجد، نسرین؛ ۱۳۹۴. ارزیابی عوامل مؤثر بر شدت فرسایش خاک در روش شش عامله فائو با استفاده از تکنیک TOPSIS. نشریه حفاظت و بهره‌برداری از منابع طبیعی، ۴(۱): ۱۰۰-۷۹.
- حاجی، خدیجه؛ اسماعلی عوری، اباذر؛ مصطفی‌زاده، رئوف؛ نظرنژاد، حبیب؛ ۱۳۹۴. تهیه و ارزیابی نقشه فرسایش خاک حوزه آبخیز رودخانه پای ارومیه با استفاده از GIS و RUSLE. دومین همایش ملی صیانت از منابع طبیعی و محیط زیست، دانشگاه محقق اردبیلی، ۱۳۹۴-۱۲، ۱۳-۱۲ اسفند.
- حبشی، خلیل؛ محمدی، شاهین؛ کریم‌زاده، حمیدرضا؛ پورمنافی، سعید؛ ۱۳۹۷. ارزیابی خطر فرسایش خاک در دشت کوهپایه - سگزی با استفاده از مدل تجدید نظر شده جهانی فرسایش خاک (RUSLE). مخاطرات محیط طبیعی، ۷(۱۵): ۱۷۸-۱۶۱.
- صادقی، سید حمیدرضا؛ مصطفی‌زاده، رئوف؛ سعدالدین، امیر؛ ۱۳۹۴. پاسخ رسوب نمود و حلقه‌های سنجه رسوب به نوع و توزیع مکانی کاربری اراضی. نشریه مهندسی و مدیریت آبخیز، ۷(۱): ۲۶-۱۵.

طالبی خیاوی، حسین؛ ذبیحی، محسن؛ مصطفی‌زاده، رئوف؛ ۱۳۹۶. تأثیر سناریوهای مختلف مدیریت کاربری اراضی بر میزان فرسایش خاک با استفاده از مدل USLE و GIS در آبخیز سد یامچی اردبیل. *علوم آب و خاک - علوم و فنون کشاورزی و منابع طبیعی*، ۲۱ (۲): ۲۳۴-۲۲۱.

فیضی زاده، بختیار؛ ۱۳۹۶. مدلسازی تغییرات کاربری اراضی و اثرات آن بر سیستم فرسایش در حوضه سد علویان با استفاده از تکنیک‌های سنجش از دور و GIS. *هیدرولوژی مورفوگلورزی*، ۳ (۱۱): ۳۸-۲۱.

محمدی، شاهین؛ کریم‌زاده، حمیدرضا؛ علیزاده، میثم؛ ۱۳۹۷. برآورد مکانی فرسایش خاک ایران با استفاده از مدل RUSLE. *کوه‌هیدرولوژی*، ۵ (۲): ۵۶۹-۵۵۱.

محمدی، مازیار؛ فلاخ، مقدسه؛ کاویان، عطاءاله؛ غلامی، لیلا؛ امیدوار، ابراهیم؛ ۱۳۹۵. کاربرد مدل RUSLE در تعیین توزیع مکانی خطر هدر رفت خاک. *کوه‌هیدرولوژی*، ۳ (۴): ۶۵۸-۶۴۵.

مختاری، لیلا گلی؛ شفیعی، نجمه؛ رحمانی، ابوالفضل؛ ۱۳۹۷. برآورد میزان فرسایش خاک با استفاده از مدل RUSLE: مطالعه موردی حوضه آبریز نورآباد ممسنی. *هیدرولوژی مورفوگلورزی*، ۱۷، صص ۲۱-۱.

مصطفی‌زاده، رئوف؛ حاجی، خدیجه؛ اسماعلی عوری، اباذر؛ نظرنژاد، حبیب؛ ۱۳۹۶. اولویت‌بندی زیرحوزه‌های بحرانی از لحاظ فرسایش و رسوب با استفاده از مدل پاسخ فرسایش حوزه (WERM) و آنالایز مورفومنtri (مطالعه موردنی: حوزه آبخیز روضه چای استان آذربایجان غربی). *پژوهشنامه مدیریت حوزه آبخیز*، ۸ (۱۶): ۱۵۶-۱۴۲.

مهدیان، محمد حسین؛ ۱۳۸۴. بررسی وضعیت تخریب اراضی در ایران. *همایش ملی فرسایش و رسوب، پژوهشکده حفاظت خاک و آبخیزداری، مرکز تحقیقات حفاظت خاک و آبخیزداری کشور*. ۶ تا ۹ شهریور. دوره ۳، صص ۶.

- Cebecauer T, Hofierka J., 2007. The consequences of land- cover changes on soil erosion distribution in Slovakia. *Geomorphology*. 98: 187-198.
- Drzewiecki W, Węzyk P, Pierzchalski M, Szafranska B., 2014. Quantitative and qualitative assessment of soil erosion risk in Małopolska (Poland), supported by an object-based analysis of high-resolution satellite images. *Pure and Applied Geophysics*. 171: 867-895.
- Ganasri B.P, Ramesh H., 2016. Assessment of soil erosion by RUSLE model using remote sensing and GIS: A case study of Nethravathi Basin. *Geoscience Frontiers*. 7 (6): 953-961.
- Garcia-Ruiz G.M, Lasanta T, Ruiz-Flano P, Ortigosa L, White S, Gonzalez C, Marti C., 1996. Land-use changes and sustainable development in mountain areas: A case study in the Spanish Pyrenees. *Landscape Ecology*. 11(5): 267-277.
- Jones D.S, Kowalski D.G, Robert B.S., 2008. Calculating Revised Universal Soil Loss Equation (RUSLE) Estimates on Department of Defense Lands: A Review of RUSLE Factors and U.S. Army Land Condition-Trend Analysis (LCTA) Data Gaps. Center for Ecological Management of Military Lands Department of Forest Science, Colorado State University Fort Collins, CO 80523.
- Jose A, Martóñez C, InéAs Saánchez B., 2000. Impact assessment of changes in land se/conservation practices on soil erosion in the PenedeÁs-Anoia vineyard region. *Soil & Tillage Research*. 57: 101-106.
- Karaburun A., 2010. Estimation of C factor for soil erosion modeling using NDVI in Buyukcekmece watershed. *Ozean Journal of Applied Sciences*. 3 (1): 77-85.

- Li H, Chen X, Kyoung J.L, Cai X, Myung S., 2010. Assessment of Soil Erosion and Sediment Yield in Liao Watershed, Jiangxi Province, China, Using USLE, GIS, and RS. *Journal of Earth Science*. 21 (6): 941–953.
- Maerker M, Sommer C, Zakerinejad R, Cama E., 2017. An integrated assessment of soil erosion dynamics with special emphasis on gully erosion: Case studies from South Africa and Iran. *EGU General Assembly Conference Abstracts*.
- Nearing M.A, Jetten V, Baffaut C, Cerdan O, Couturier A, Hernandez M, Le Bissonnais Y, Nichols M.H, Nunes J.P, Renschler C.S, Souchre V, Van Oost K., 2005. Modeling response of soil erosion and runoff to changes in precipitation and cover. *Catena*. 61:131-154.
- Nwaogu C, Okeke OJ, Adu SA, Babine E, Pechanec V., 2017. Land use land cover change and soil-gully erosion relationships: A study of Nanka, South-Eastern Nigeria using geoinformatics. *Proceedings of GIS Ostrava: Dynamics in GIscience*. Pp. 305-319.
- Remortel Van R, Hamilton M, Hickey R., 2001. Estimating the LS factor for RUSLE through iterative slope length processing of digital elevation data. *Cartography*, 30(1): 27-35.
- Renard K, Foster G, Weesies G, McCool D, Yoder D., 1997. Predicting soil erosion by water: a guide to conservation planning with the Revised Universal Soil Loss Equation RUSLE). US Department of Agriculture (Ed.). Agricultural Handbook. US Department of Agriculture, Washington. 703: 1–251.
- Renard K.G, Freidmund J.R., 1994. Using monthly precipitation data to estimate the R-factor in the RUSLE, *J. Hydro*. 157: 287-306.
- Sadeghi S.HR.2017. Soil erosion in Iran: state of the art, tendency and solutions. *Transcultural Studies*. 63(3).
- Santos J. C. N, Andrade E. M, Medeiros P. H. A, Joao M., 2017. Land use impact on soil erosion at different scales in the Brazilian semi-arid. *Revista Ciencia Agronomica*. 48(2): 251-260.
- Sharma A, Kamlesh N., 2010. Effect of land use land cover change on soil erosion potential in a agricultural watershed. *Environ Monit Assess*. 173: 789-801.
- Shi Z.H., 2002. Assessment of Erosion Risk with the Rusle and Gis in the Middle and Lower Reaches of Hanjiang River. 12th ISCO Conference Beijing. 73-78.
- Shinde K.N, Manjushree S., 2010. Prioritization of micro watersheds on the basis of soil erosion hazard using remote sensing and geographic information system. *International Journal of Water Resource and Environmental Engineering*. 2(3): 130-136.
- Teng H, Rossel RA, Shi Z, Behrens T, Chappell A, Bui E., 2016. Assimilating satellite imagery and visible\_near infrared spectroscopy to model and map soil loss by water erosion in Australia. *Environmental Modelling & Software*. 77:156-167.
- Wischmeier W.H, Smith.D.D., 1978. Predicting rainfall erosion losses: a guide to conservation planning. The USDA Agricultural Handbook. No. 537, Maryland.
- Zakerinejad R, Maerker M., 2015. An integrated assessment of soil erosion dynamics with special emphasis on gully erosion in the Mazayjan basin, southwestern Iran. *Natural Hazards*. 79 (1): 25-50.